

## 类钙钛矿新铌酸盐 $Ba_6LaTi_3Nb_3O_{21}$ 的合成、结构与介电特性

张辉 黄涛华 方亮\* 孟范成 刘韩星 袁润章  
(武汉理工大学材料复合新技术国家重点实验室, 武汉 430070)

关键词: 铌酸盐 类钙钛矿结构 介电特性  
分类号: O614.512

为满足现代通信技术的小型化、集成化与高可靠性的迫切要求,探索具有高介电常数、低介电损耗与低温系数微波介电材料引起了材料科学、化学、物理、电子等领域科学工作者的广泛关注,并已开发出复合钙钛矿结构  $Ba(Zn_{1/3}Ta_{2/3})O_3$ 、钨青铜结构  $Ba_{6-3x}Ln_{8+2x}Ti_{18}O_{54}$  及  $Ba_2Ti_9O_{20}$  等实用化的高性能材料<sup>[1-5]</sup>。考虑到以上材料均由氧八面体共顶连接而且氧八面体内(B位)、外(A位)阳离子比例等于或大于1,我们推测在B位与A位阳离子比例略小于1的类钙钛矿结构中也极有可能存在具有优良介电性能的新材料,因此对通式为  $A_nB_{n-1}O_{3n}$  ( $n=5, 6, 7, 8$ ) 系列新化合物进行了系统的合成、结构与介电性能研究<sup>[6,7]</sup>。本文报道了在  $BaO-La_2O_3-TiO_2-Nb_2O_5$  体系中合成了六层类钙钛矿结构新铌酸盐  $Ba_6LaTi_3Nb_3O_{21}$ , 发现它具有好的介电性能。

### 1 实验部分

#### 1.1 铌酸盐 $Ba_6LaTi_3Nb_3O_{21}$ 的合成

以纯度为99.99%的  $BaCO_3$ ,  $La_2O_3$ ,  $TiO_2$  和  $Nb_2O_5$  为起始原料,按物质的量之比6:0.5:3:1.5配料,加热至1420~1480℃,保温12h进行固相反应,可以获得淡灰色的六方短柱状多晶体。将固相反应得到的多晶体磨细后,在30MPa下压制成圆片状,再在200MPa下冷等静压提高生坯密度,然后置于Pt片上在1420℃烧结4h,将烧结后的陶瓷样品刷银电极,在600℃保温20min。

#### 1.2 样品的测试

采用化学分析法及电子探针元素定量分析法(EPMA)分别测定了化合物的成分,所用仪器为JCSA-733型电子探针微区分析仪。用日本电子JSM-5610LV型扫描电镜(SEM)进行陶瓷体断面的显微结构分析。使用TAS-100热分析仪(DTA)研究了化合物的热性质。固相反应产物的X射线衍射物相分析在Rigaku D/MAX-RB型X射线衍射仪进行。选择合适的单晶体,用Rigaku RASA-5RP强功率转靶四圆单晶衍射仪进行了初步的晶体结构分析。用HP4284型LCR测量仪测量了10kHz~1MHz频段陶瓷体的介电-温度特性,温度变化范围为20~140℃。

### 2 结果与讨论

#### 2.1 $Ba_6LaTi_3Nb_3O_{21}$ 的表征

化学分析及电子探针(EPMA)定量分析确定该化合物的化学式为  $Ba_6LaTi_3Nb_3O_{21}$ 。差热分析(DTA)及淬冷试验表明,该化合物为一致熔化合物,熔点为1505℃,晶体的生成温度范围为1380~1505℃。

X射线单晶衍射结果表明,  $Ba_6LaTi_3Nb_3O_{21}$  晶体为三方晶系,空间群  $R\bar{3}m(166)$ , 晶胞参数  $a=0.57388(2)$  nm,  $c=4.9283(3)$  nm,  $Z=3$ , 理论密度  $6.083$  g·cm<sup>-3</sup>。其晶体结构(见图1)可以描述为6个[(Nb,Ti)O<sub>6</sub>]八面体共顶连接沿c轴方向形成类钙钛矿层,两个类钙钛矿层之间通过Ba原子联结形成三维结构。类钙钛矿层内的Ba与La原子位于由8个八面体通过共用角顶相联所围成的空隙中,配位数为12;

收稿日期:2003-09-22。收修改稿日期:2003-12-15。

国家自然科学基金(No.50002007),教育部重大项目(No.0201)及国际衍射数据中心(ICDD)Grant-in-Aid基金(No.02-05,02-40)资助项目。

\*通讯联系人。E-mail:fangliang001@263.net

第一作者:张辉,女,33岁,副教授;研究方向:无机功能材料的合成、结构与性能研究。

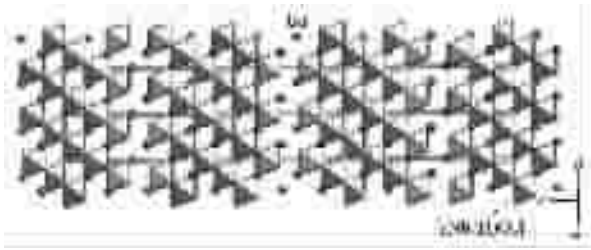


图 1 Ba<sub>6</sub>LaTi<sub>3</sub>Nb<sub>3</sub>O<sub>21</sub> 晶体结构

Fig.1 Crystal structure of Ba<sub>6</sub>LaTi<sub>3</sub>Nb<sub>3</sub>O<sub>21</sub>

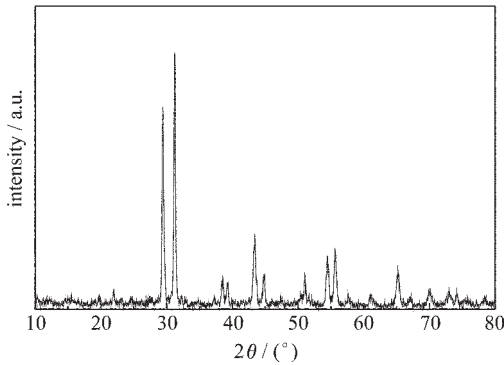


图 2 Ba<sub>6</sub>LaTi<sub>3</sub>Nb<sub>3</sub>O<sub>21</sub> 的 X 射线衍射谱

Fig.2 XRD pattern of Ba<sub>6</sub>LaTi<sub>3</sub>Nb<sub>3</sub>O<sub>21</sub>

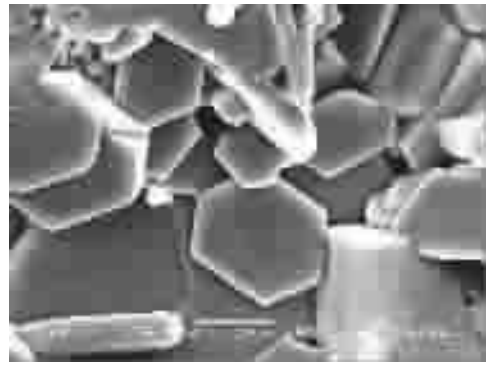


图 3 Ba<sub>6</sub>LaTi<sub>3</sub>Nb<sub>3</sub>O<sub>21</sub> 的扫描电镜照片

Fig.3 SEM micrograph of Ba<sub>6</sub>LaTi<sub>3</sub>Nb<sub>3</sub>O<sub>21</sub>

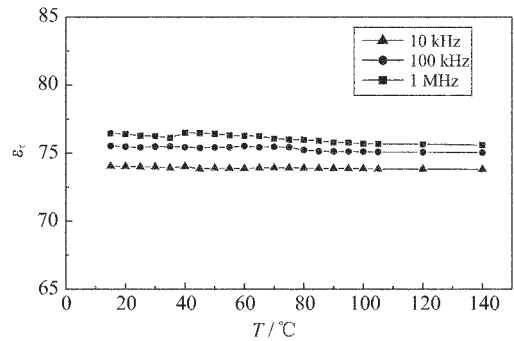


图 4 Ba<sub>6</sub>LaTi<sub>3</sub>Nb<sub>3</sub>O<sub>21</sub> 介电常数与温度关系

Fig.4 Dielectric constant vs temperature for Ba<sub>6</sub>LaTi<sub>3</sub>Nb<sub>3</sub>O<sub>21</sub>

层间的 Ba 原子与周围 6 个“孤立”的[(Nb,Ti)O<sub>6</sub>]八面体相连,其配位数为 9。其粉晶 X 射线衍射谱(见图 2)中每一个衍射峰都能得到较好的指标,经指标化后的 X 射线粉晶衍射数据见表 1。

陶瓷体的 SEM 照片(图 3)进一步证实 Ba<sub>6</sub>LaTi<sub>3</sub>Nb<sub>3</sub>O<sub>21</sub> 由单一的物相组成,显微结构致密,晶粒大小约为 1~10 μm,可见规则的六方状晶粒。陶瓷体测量密度为 5.791 g·cm<sup>-3</sup>,致密度为 95.2%。

### 2.2 Ba<sub>6</sub>LaTi<sub>3</sub>Nb<sub>3</sub>O<sub>21</sub> 的介电特性

Ba<sub>6</sub>LaTi<sub>3</sub>Nb<sub>3</sub>O<sub>21</sub> 陶瓷的介电常数 ε<sub>r</sub> 随温度变化曲线见图 4,测试频率为 10 kHz,100 kHz 与 1 MHz 时,陶瓷的室温介电常数 ε<sub>r</sub> 随频率变化小,分别为

76.4,75.5 与 74.1,这与 Clausius-Mossotti 公式  $\epsilon_r = (3V + 8\pi a_m) / (3V - 4\pi a_m)$  (式中  $V$  为单位晶胞体积,  $a_m$  为该化合物的总离子极化率<sup>[8]</sup>计算值(72.98)基本一致。随着温度上升至 140 °C,介电常数基本保持不变,1 MHz 时介电常数温度系数  $\tau_\epsilon$  为  $-69 \times 10^{-6} \text{ K}^{-1}$ ,介电损耗  $\tan\delta$  为  $4.7 \times 10^{-4}$ 。

对于单主晶相的 Ba<sub>6</sub>LaTi<sub>3</sub>Nb<sub>3</sub>O<sub>21</sub> 陶瓷,对介电性能起主要贡献的只有电子式极化与离子式极化机制,这两种极化机制在低频段与微波频段的表现

表 1 Ba<sub>6</sub>LaTi<sub>3</sub>Nb<sub>3</sub>O<sub>21</sub> 的粉末衍射数据

Table 1 X-ray Powder Diffraction Data for Ba<sub>6</sub>LaTi<sub>3</sub>Nb<sub>3</sub>O<sub>21</sub>

<i>d</i> / nm	<i>I</i> / <i>I</i> <sub>0</sub>	<i>h</i>	<i>k</i>	<i>l</i>	<i>d</i> / nm	<i>I</i> / <i>I</i> <sub>0</sub>	<i>h</i>	<i>k</i>	<i>l</i>	<i>d</i> / nm	<i>I</i> / <i>I</i> <sub>0</sub>	<i>h</i>	<i>k</i>	<i>l</i>
0.444 2	3	0	1	5	0.234 8	11	0	0	21	0.165 9	23	2	1	13
0.406 5	5	1	0	7	0.230 7	7	2	0	8	0.150 8	3	2	0	26
0.387 2	3	0	1	8	0.230 2	4	1	0	19	0.143 6	14	2	2	0
0.350 3	2	1	0	10	0.208 1	26	0	2	13	0.140 4	4	2	0	29
0.301 7	75	1	0	13	0.193 6	11	0	2	16	0.133 6	5	1	2	26
0.287 3	100	1	1	0	0.181 7	5	2	1	7	0.132 6	4	1	1	33
0.262 1	3	1	0	16	0.177 3	13	0	1	26	0.129 7	5	1	3	13
0.241 2	5	2	0	5	0.168 5	19	2	1	13	0.122 5	3	2	2	21

基本一致<sup>[9]</sup>, 因此可以根据低频段的介电性能推断其微波介电性能。由于  $\text{Ba}_6\text{LaTi}_3\text{Nb}_3\text{O}_{21}$  具有紧密的类钙钛矿晶体结构, 而且 A 位阳离子 ( $\text{Ba}^{2+}, \text{La}^{3+}$ ) 与 B 位阳离子 ( $\text{Ti}^{4+}, \text{Nb}^{5+}$ ) 都具有大的离子极化率, 决定了该化合物具有高的介电常数, 明显高于  $\text{Ba}(\text{Zn}_{1/3}\text{Ta}_{2/3})\text{O}_3$ 、 $\text{Ba}_2\text{Ti}_9\text{O}_{20}$  等微波介电陶瓷 ( $\varepsilon_r=25\sim 40$ ), 与目前最热门的铌青铜结构高介电常数微波介电陶瓷  $\text{Ba}_{6-3x}\text{Ln}_{8+2x}\text{Ti}_{18}\text{O}_{54}$  的介电常数 ( $\varepsilon_r=75\sim 95$ ) 相近<sup>[2]</sup>, 十分有利于微波元器件的小型化与集成化; 其温度系数和介电损耗也小, 而且烧结温度较低, 容易获得致密的显微结构, 因此极有可能成为一种新型的微波介质陶瓷材料, 而且由于该类化合物中 A、B 位均可能被电价与半径不同的阳离子在较宽的范围内取代, 所以其综合性能有望得到进一步优化。

### 3 结 论

采用高温固相反应合成了六层类钙钛矿结构新铌酸盐  $\text{Ba}_6\text{LaTi}_3\text{Nb}_3\text{O}_{21}$ 。 $\text{Ba}_6\text{LaTi}_3\text{Nb}_3\text{O}_{21}$  晶体为三方晶系, 空间群  $R\bar{3}m(166)$ , 晶胞参数  $a=0.573\ 88(2)$  nm,  $c=4.928\ 3(3)$  nm,  $Z=3$ 。1 MHz 时  $\text{Ba}_6\text{LaTi}_3\text{Nb}_3\text{O}_{21}$  陶瓷具有较高的室温介电常数 74, 低的介电损耗  $4.7\times 10^{-4}$ , 与小的介电常数温度系数  $-69\times 10^{-6}\ \text{K}^{-1}$ , 因此  $\text{Ba}_6\text{LaTi}_3\text{Nb}_3\text{O}_{21}$  极有可能成为一种新型的微波介质

陶瓷材料。

### 参 考 文 献

- [1] GAN Fu-Xi (干福熹) *Information Materials* (信息材料), Tianjin: Tianjin University Press, **2000**, p219~222.
- [2] Ubc R., Reaney I. M., Lee W. E. *International Materials Reviews*, **1998**, **43**(5), 205.
- [3] Kolar D., Stadler Z., Gaberscek S. et al. *Ber. Dt. Keram. Ges.*, **1978**, **55**(7), 346.
- [4] Ohstao H., Ohashi T., Nishigaki S. et al. *Jpn. J. Appl. Phys.*, **1993**, **32**(B), 4323.
- [5] Venkatesh J., Sivasubramanian V., Subramanian V. et al. *Mater. Res. Bull.*, **2000**, **35**, 1325.
- [6] ZHANG Hui(张 辉), FANG Liang(方 亮), HONG Xue-Kun(洪学鹗) et al. *Gaodeng Xuexiao Huaxue Xuebao (Chem. J. Chinese Univ.)*, **2003**, **24**(9), 1552.
- [7] ZHANG Hui(张 辉), FANG Liang(方 亮), HONG Xue-Kun(洪学鹗) et al. *Wuji Huaxue Xuebao (Chinese J. Inorg. Chem.)*, **2003**, **19**(10), 1121.
- [8] Shannon R. D. *J. Appl. Phys.*, **1993**, **73**(1), 348.
- [9] JIN Xia(金 霞), ZHANG Xu-Li(张绪礼), WANG Xiao-Zhen(王筱珍) *Huazhong Ligong Daxue Xuebao (J. Huazhong Univ. Sci-Tech.)*, **1998**, **29**(1), 75.

## Synthesis, Structure and Dielectric Properties of A New Perovskite-related Niobate $\text{Ba}_6\text{LaTi}_3\text{Nb}_3\text{O}_{21}$

ZHANG Hui HUANG Tao-Hua FANG Liang\* MENG Fan-Cheng LIU Han-Xing YUAN Run-Zhang  
(State Key Laboratory of Advanced Technology for Materials Synthesis and Processing,  
Wuhan University of Technology, Wuhan 430070)

A New Niobate  $\text{Ba}_6\text{LaTi}_3\text{Nb}_3\text{O}_{21}$  was synthesized by high temperature solid state reaction in the  $\text{BaO-La}_2\text{O}_3\text{-TiO}_2\text{-Nb}_2\text{O}_5$  system. The chemical compositions, crystal structure, microstructure, density and melting point of the new compound were characterized by EPMA, XRD, DTA and so on.  $\text{Ba}_6\text{LaTi}_3\text{Nb}_3\text{O}_{21}$  crystallizes the rhombohedral system with unit cell parameters  $a=0.573\ 88(2)$  nm,  $c=4.928\ 3(3)$  nm, and space group  $R\bar{3}m$ ,  $Z=3$ . The structure may be described as six (Nb,Ti) $\text{O}_6$  octahedra corner-sharing along  $c$ -axis to form perovskite layer connected by Ba atoms. The  $\text{Ba}_6\text{LaTi}_3\text{Nb}_3\text{O}_{21}$  ceramics exhibits high dielectric of 74.1, low dielectric loss of  $4.7\times 10^{-4}$  and small temperature coefficient of dielectric constant of  $-69\ \text{ppm}\cdot\text{K}^{-1}$  at 1 MHz due to its close structure and relative high dielectric polarizabilities of  $\text{Ba}^{2+}$ ,  $\text{La}^{3+}$ ,  $\text{Ti}^{4+}$  and  $\text{Nb}^{5+}$ .  $\text{Ba}_6\text{LaTi}_3\text{Nb}_3\text{O}_{21}$  might be a suitable candidate of high  $\varepsilon_r$  microwave dielectric ceramics.

**Keywords:** niobate perovskite-related structure dielectric property